

Vodenje električnega motorja s pomočjo samonastavljivih regulatorjev PID, PFC in mPFC

Martin BLAZINŠEK, Matija ARH, Igor ŠKRJANC

Izvleček: Tema tega članka je primerjava delovanja treh različnih samonastavljivih regulatorjev na pilotni laboratorijski napravi motor generator. Samonastavljanje je namreč sodoben pristop k nastavljanju regulatorjev, ki omogoča hitrejše nastavljanje kot ustaljene metode. Samonastavljanje PID-a, PFC-ja in modificiranega PFC-ja je bilo razvito na podlagi relejske metode. Ta metoda vsili ustaljeno nihanje izhoda procesa, kar nam omogoči identifikacijo modela procesa. Nato lahko nastavimo PFC in modificirani PFC-regulator ter izračunamo parametre PID-regulatorja. Rezultati eksperimentov na realni napravi so pokazali, da modificirani PFC-regulator deluje bolje od ostalih dveh.

Ključne besede: samonastavljanje, PID, regulator, modificirani, PFC, relejska, metoda, enosmerni, električni, motor, vodenje

■ 1 Uvod

V sodobnem svetu se na vseh področjih uveljavlja avtomatizacija procesov, saj prinaša številne prednosti. Obratovanje naprav je z njo v veliki meri postalo neodvisno od prisotnosti človeka. Rezultat tega sta povečana proizvodnja in pocenitev končnih produktov.

Eden ključnih delov avtomatizacije so pravilno nastavljeni regulatorji, ki vodijo procese in skrbijo, da se njihove izhodne veličine gibljejo v predpisanih mejah. Čeprav so proporcionalno-integracijsko-diferencijski (PID) regulatorji najbolj razširjeni regulatorji v industrijskih procesih, so pogosto slabo nastavljeni. To ima lahko negativen vpliv na proizvo-

dnjo, kar vodi do izgub pri porabi energije in surovin ter do zamud pri izpolnjevanju nalog.

V literaturi je bilo predlaganih veliko metod za nastavljanje PID-regulatorjev. Večina od njih je bila razvita za ročno nastavljanje, kar pa zahteva veliko časa in izkušene operaterje. Tem oviram pa se lahko izognemo s sodobnimi načini nastavljanja regulatorjev, kot je samonastavljanje (auto-tuning). To je metoda, pri kateri se regulator nastavi samodejno na zahtevo uporabnika. Z vgradnjeno takšno metodo v regulacijski proces bistveno poenostavimo njegovo uporabo. Takšen pristop dovoljuje operaterjem z manj znanja o teoriji regulacij, da pravilno nastavijo regulatorje. Veliko metod za nastavljanje PID-regulatorjev je mogoče avtomatizirati, vendar nekatere lažje kot druge. Takšne metode so npr. relejska metoda [1], Ziegler-Nicholsovi metodi nihajni preizkus in odziv na stopnico [2], Magnitude-Optimum-Multiple-Integrations (MOMI) [3], metoda Chien-Hrones-Reswick [4] za pro-

porcijske sisteme višjega reda, nato standardne optimizacijske metode, kot so integralske ceničke [5] ter metahevristične evolucijske metode, kot so genetski algoritmi za nastavljanje PID-parametrov [6] itd.

Prediktivno-funkcijski regulator (PFC) pa uporablja parametrični model procesa in še dva dodatna parametra, ki sledita iz izpeljave [7]. Ta dva parametra sta izbrana tako, da dobimo primeren odziv sistema. V tem članku je uporabljen tudi modificirani PFC (mPFC), ki uporablja dodatno povratno zanko z ojačanjem. Ojačanje lahko določimo z analizo prenosne funkcije.

Prednost avtomatskega nastavljanja PFC je v direktni uporabi parametričnega modela, medtem ko nekatere metode za nastavljanje PID uporabljajo rezultate zelo specifičnih testov. To pomeni, da bi za nastavitev PID za znan parametrični model procesa še vedno morali izvesti teste. Po drugi strani pa identifikacija procesa lahko vzame veliko časa

Martin Blazinšek, univ. dipl. inž., Matija Arh, univ. dipl. inž., prof. dr. Igor Škrjanc, univ. dipl. inž., vsi Univerza v Ljubljani, Fakulteta za elektrotehniko

in so lahko postopki za nastavitev PID-regulatorjev hitrejši.

■ 2 Relejska metoda

2.1 Kaj je relejska metoda?

Relejska metoda spada med zapro-
zančne metode nastavljanja PID-re-
gulatorjev. Temelji na frekvenčnem
odzivu sistema in je zelo učinkovita
pri določanju kritičnega ojačenja
 K_u in kritične frekvence ω_u sistema.
Njena prednost pred ostalimi meto-
dami je v tem, da identificira proces
v okolini pomembne frekvence (kritične
frekvence) sistema. Kot zapro-
zančna metoda omogoča, da proces
identificiramo v želeni delovni točki
in v realnem času. Pri sistemih z dalj-
šimi časovnimi konstantami je hitrej-
ša kot konvencionalno preizkušanje
s stopnico ali pulzom [8].

Sistem za samonastavljanje PID-re-
gulatorja deluje v dveh fazah. V prvi
fazi algoritem določi K_u in ω_u , izra-
čuna PID-parametre in identificira
proces. Nato preklopi v drugo fazo
delovanja, kjer uporabi prej izraču-
nane PID-parametre in izvede eks-
periment. Pri poskusu opazujemo
delovanje regulatorja pri sledenju
referenci in odzivu na motnjo.

Opis prve faze je razdeljen na nasled-
nji dve podoglavlji: Relejski odziv in
Identifikacija.

2.2 Relejski odziv

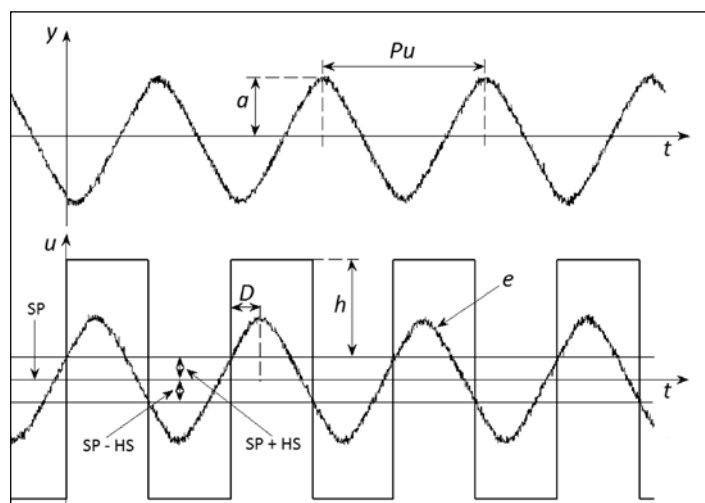
Z relejskim odzivom določimo K_u in
 ω_u po naslednjih korakih. Najprej
pripeljemo sistem v ustaljeno stanje.
Nato z relejem vsilimo majhno (npr.
5 %) spremembo na vhodu siste-
ma u . Takoj, ko pogrešek e prestopi
določeno mejo (SP) plus histerezo
(±HS), z relejem vsilimo nasprotno
(npr. -5 %) spremembo na vhodu.
Preklapljanje se ponavlja, dokler iz-
hod sistema y ne zaniha ustaljeno
(slika 1). Takrat preberemo kritično
periodo nihanja P_u in izračunamo ω_u
z enačbo (1). K_u izračunamo po enač-
bi (2), kjer h predstavlja amplitudo
releja, a pa amplitudo izhodnih oscilacij
sistema. Enačba (3) predstavlja
model realnega PID-regulatorja, ki
ga sestavljajo proporcionalno oja-

$$\omega_u = \frac{2\pi}{P_u} \quad (1)$$

$$K_u = \frac{4h}{\pi a} \quad (2)$$

$$G_{PID}(s) = K_p \left(1 + \frac{1}{T_i s} + \frac{T_d s}{T_f s + 1} \right) \quad (3)$$

$$K_p = 0,6K_u \quad T_i = 0,5P_u \quad T_d = 0,125P_u \text{ in } T_f = 0,5T_d \quad (4)$$



Slika 1. Ustaljeno nihanje izhoda y -sistema (zgoraj) in vhoda u -sistema (spodaj)

čenje K_p , integracijska T_i , diferencir-
na T_d in filtrska T_f časovna konstanta.
PID-parametre izračunamo z nastav-
itvenimi pravili Zigler-Nichols [2]
po enačbi (4) ali pa s pomočjo dru-
gih pravil [9], ki tudi uporabljajo K_u in
 ω_u za njihov izračun.

2.3 Identifikacija

Pomemben del prve faze samona-
stavljanja je identifikacija modela
procesa, ki nam omogoča določiti
prenosno funkcijo sistema. Za ta na-
men potrebujemo poleg K_u in ω_u še
mrtvi čas D , ki ga lahko preberemo
iz oscilacij pogreška (slika 1 spodaj),
ter enosmerno ojačenje, ki ga izra-
čunamo kot $K_s = \frac{\Delta y}{\Delta u} \cdot \Delta y$ predstavlja
spremembo na izhodu, Δu pa spre-
membo na vhodu procesa.

Na ta način lahko identificiramo dva
različna modela. Model prvega reda
z mrtvim časom v enačbi (5) ter mo-
del drugega reda z mrtvim časom in
z dvema različnima časovnima kon-
stantama v enačbi (6).

$$G_1(s) = \frac{K_s}{T_1 s + 1} e^{-Ds} \quad (5)$$

$$G_2(s) = \frac{K_s}{(T_{21}s + 1)(T_{22}s + 1)} e^{-Ds} \quad (6)$$

Model G_1 vsebuje eno časovno kon-
stanto, ki jo izračunamo z enačbo
(7). Za model G_2 pa moramo izraču-
nati dve časovni konstanti po enač-
bah (8) in (9) kot sistem dveh enačb
z dvema neznankama.

$$T_1 = \frac{\sqrt{(K_s K_u)^2 - 1}}{\omega_u} \quad (7)$$

$$\pi = \omega_u D + \tan^{-1}(\omega_u T_{21}) + \tan^{-1}(\omega_u T_{22}) \quad (8)$$

$$\frac{K_s K_u}{\sqrt{[1 + (\omega_u T_{21})^2][1 + (\omega_u T_{22})^2]}} = 1 \quad (9)$$

Identificirana modela bomo kasneje
uporabili kot vhod pri samonastav-
ljanju PFC- in mPFC-regulatorjev.
Oba sta opisana v naslednjem po-
glavlju.

■ 3 Prediktivno-funkcijski regulator

3.1 Na kratko o vodenju na osnovi modela

Med algoritme za vodenje na osnovi modela spadajo na primer: Model Predictive Heuristic Control [7], Dynamic Matrix Control (DMC) [10] in Predictive functional control [11, 12]. Glavna ideja vodenja na osnovi modela je ta, da se regulirni signal izračuna s pomočjo nekakšnega modela procesa. Ta model je lahko parametričen, lahko je matrika impulznega ali stopničastega odziva, v nekaterih primerih pa tudi mehki model. Tukaj bomo za primerjavo uporabili samo PFC.

3.2 PFC

PFC za računanje regulirnega signala uporablja diskretni parametrični model procesa. Za proces prvega reda lahko zapišemo zvezno prenosno funkcijo kot v enačbi (5). Diskretni ekvivalent te funkcije pa kot:

$$G_m(z) = \frac{b_m}{z - a_m} \quad (10)$$

Regulirni signal PFC-ja izračunamo, kot je predlagano v [7]:

$$u(k) = \frac{1 - a_r^H}{K_s(1 - a_m^H)} e(k) + \frac{1}{K_s} y_m(k) \quad (11)$$

$$e(k) = w(k) - y(k) - y_m(k) + y_{md}(k) \quad (12)$$

V tem primeru je a_r diskretni inkrement referenčne trajektorije, ki se izračuna kot $a_r = e^{-\frac{T_s}{T_r}}$. T_r je časovna konstanta referenčne trajektorije, H predikcijski horizont, $y(k)$ izhod procesa, $y_m(k)$ izhod modela procesa brez upoštevanja zakasnitve, $y_{md}(k)$ pa izhod modela z

na konstanta referenčne trajektorije, H predikcijski horizont, $y(k)$ izhod procesa, $y_m(k)$ izhod modela procesa brez upoštevanja zakasnitve, $y_{md}(k)$ je izhod modela z upoštevanjem zakasnitve in $w(k)$ nastavljena točka. Podobno lahko storimo za procese drugega reda (6). Diskretni ekvivalent modela takšnega procesa lahko zapišemo kot:

$$G_{ms}(z) = \frac{b_m}{(z - a_{m1})(z - a_{m2})} z^{-n_d} \quad (13)$$

Ta model nato pretvorimo v vzporedno strukturo:

$$G_{ms}(z) = (G_{m1}(z) + G_{m2}(z)) z^{-n_d} \quad (14)$$

$$G_{m1}(z) = \frac{b_m}{z - a_{m1}} \quad (15)$$

$$G_{m2}(z) = \frac{-b_m}{z - a_{m2}} \quad (16)$$

$$u(k) = \frac{(1 - a_r^H)e(k) + y_{12}(k)}{\frac{K_{m1}}{1 - a_{m1}}(1 - a_{m1}^H) + \frac{K_{m2}}{(1 - a_{m2})(1 - a_{m2}^H)}} \quad (17)$$

$$y_{12}(k) = y_{m1}(k)(1 - a_{m1}^H) + y_{m2}(k)(1 - a_{m2}^H) \quad (18)$$

$$e(k) = w(k) - y(k) - y_m(k) + y_{md}(k) \quad (19)$$

Tukaj je a_r zopet diskretni inkrement referenčne trajektorije izračunan kot

$$a_r = e^{-\frac{T_s}{T_r}} \cdot T_r$$

referenčne trajektorije, T_s pa perioda vzorčenja. H je predikcijski horizont, $y(k)$ izhod procesa, $y_m(k)$ izhod modela procesa brez upoštevanja zakasnitve, $y_{md}(k)$ pa izhod modela z

za modele prvega reda. Dodatna zanka lahko vsebuje svojo prenosno funkcijo. Novo vrednost regulirnega signala pa izračunamo kot:

$$u_{mPFC} =$$

$$u_{PFC} - G_f(z)(y - y_m) \quad (20)$$

Zaradi dodatne zanke bi morali dobiti sistem z boljšim dušenjem motenj, medtem ko vodenje ne bi bilo različno. To je res, če sta model in proces popolnoma enaka. Med preizkušanjem mPFC smo ugotovili, da dobimo dobre rezultate, če dodatna povratna zanka vsebuje samo ojačevanje, za modele prvega reda, oz. PD regulator, za modele drugega reda.

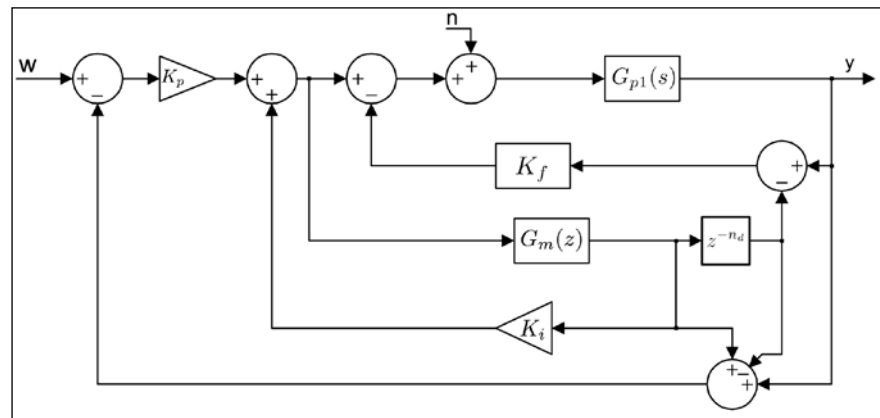
$$G_{f1}(z) = K_f \quad (21)$$

$$G_{f2}(z) =$$

$$\frac{K_{f2} T_{df} (1 + N_f) z + K_{f2} (N_f T_s - N_f T_{df} - T_{df})}{T_{df} z + N_f T_s - T_d} \quad (22)$$

$$\text{Na sliki 2 je } K_p = \frac{1 - a_r^H}{K_s(1 - a_m^H)} \text{ in } K_i = \frac{1}{K_s}$$

Časovna konstanta referenčne trajektorije za modele prvega reda je izračunana kot $T_r = \frac{T}{10}$ in za modele



Slika 2. Bločna shema mPFC-ja za model prvega reda

upoštevanjem zakasnitve. Nadalje je $w(k)$ nastavljena točka, $y_{m1}(k)$ izhod prvega razstavljenega modela brez zakasnitve ($G_{m1}(z)$) ter $y_{m2}(k)$ izhod drugega razstavljenega modela brez zakasnitve ($G_{m2}(z)$).

3.3 Modificirani PFC

Ideja modificiranega PFC-ja je, da dodamo k regulirnemu signalu še eno negativno povratno zanko iz razlike izhoda procesa in izhoda modela. Na sliki 2 je to prikazano

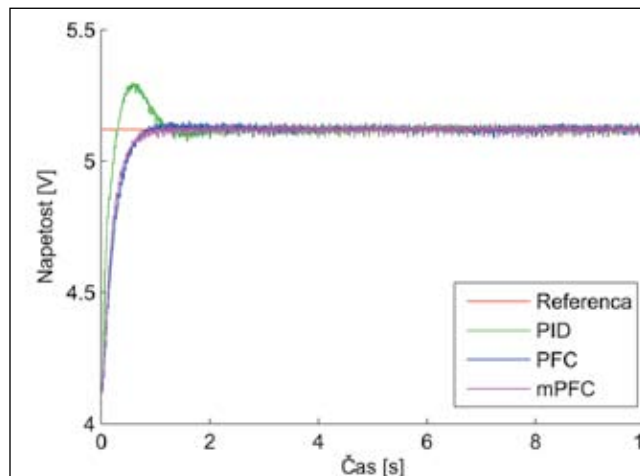
drugega reda kot $T_r = 0,1\sqrt{T_{b1}^2 + T_{b2}^2}$. Za modele prvega reda je ojačevanje v dodatni zanki $K_{f1} = 20\frac{1}{K_s}$, kjer je K_s enosmerno (DC) ojačevanje modela. Parametri dodatne zanke za modele drugega reda pa so $K_{f2} = 2\frac{1}{K_s}$ in $T_{df} = T_s$.

■ 4 Aplikacija na pilotni napravi

Opisane metode so bile preizkušene na pilotni laboratorijski napravi motor-generator, ki je sistem prvega

reda. Njegovo delovno območje je med $y = -10$ in $y = 10$ V. S spremenjanjem napetosti na vhodu lahko vplivamo na hitrost vrtenja. Za komunikacijo med napravo in PC-jem smo izbrali čas vzorčenja $T_s = 0,01$ s.

Pri eksperimentih smo z isto napravo imitirali tudi sistem drugega reda, ki smo ga realizirali tako, da smo k motorju zaporedno vezali še aktuator:



Slika 3. Delovanje sistema prvega reda z uporabo regulatorjev PID (zelena), PFC (modra) in mPFC (roza) pri sledenju referenci v delovni točki $Y_{00} = 5,12$ V

$$G_{sistem}(s) = G_{aktuator}(s) \cdot G_{lmotor}(s) \quad (23)$$

Aktuator ima časovno konstanto $T_a = 0,5$ s in naslednjo prenosno funkcijo:

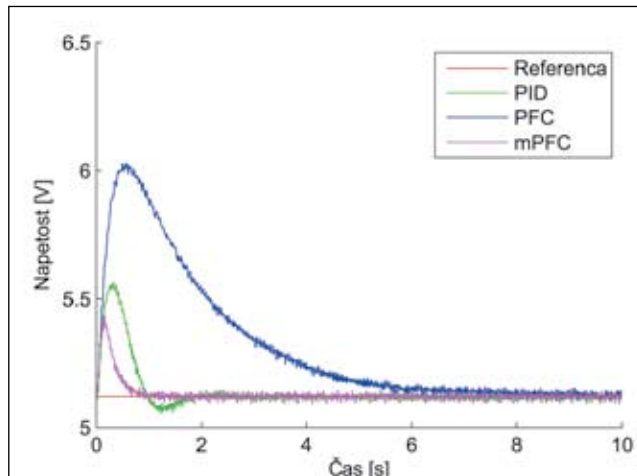
$$G_{aktuator}(s) = \frac{1}{T_a s + 1} \quad (24)$$

Tako smo na dveh različnih sistemih izvedli dva poskusa, sledenje referenci in odziv na motnjo, kar nam je omogočilo primerjati podobnosti in razlike med vodenjem motorja z regulatorji PID, PFC in mPFC.

4.1 Sistem prvega reda

Pred začetkom načrtovanih poskusov smo morali najprej opraviti relejski odziv in identifikacijo sistema, ki ju je v skladu s poglavjem 2 vodil razviti algoritem. Ta zahteva en začetni pogoj za pravilno delovanje. To je histereza releja, ki smo jo nastavili na $HS = \pm 0,14$ V. Na podlagi relejskega poskusa smo izračunali

točka v tem primeru je $Y_{00} = 5,12$ V, sprememba reference pa $\Delta r = 1$ V. Opazimo lahko, da imata regulatorja PFC in mPFC hitrejši odziv ($t_{5\%}$ – umiritev čas, je čas, ki ga potrebuje odziv, da doseže in ostane znotraj 5 % tolerančnega področja okoli ustaljene vrednosti) in manjši prevpon (PV) kot regulator PID. Če pa pogledamo kvaliteto regulatorjev z vidika integralnih cenilk ITSE



Slika 4. Delovanje sistema prvega reda z uporabo regulatorjev PID (zelena), PFC (modra) in mPFC (roza) pri odzivu na motnjo v delovni točki $Y_{00} = 5,12$ V

$\omega_u = 11,42$ rad/s in $K_u = 2,15$ ter nato še naslednje PID-parametre:

$$K_p = 1,288, T_i = 0,271 \text{ s}, T_d = 0,068 \text{ s} \text{ in } T_f = 0,034 \text{ s.} \quad (25)$$

Ocenjeni šum je znašal 0,18 % glede na delovno točko $Y_{00} = 5,12$ V. Identificirali smo sledeči sistem prvega reda z mrtvim časom:

$$G_{lmotor}(s) = \frac{8,83}{1,63s + 1} e^{-0,02s} \quad (26)$$

Za oba poskusa smo nastavili predikcijski horizont PFC in mPFC na $H = 10$. Izračunali smo tudi $K_f = 2,27$ in $T_r = 0,16$ s.

Slika 3 prikazuje omenjene regulatorje pri sledenju referenci. Delovna

(integralski kvadratični pogrešek, obtežen s časom), ISE (integralski kvadratični pogrešek) in IAE (integral absolutne vrednosti pogreška) v tabeli 1, ugotovimo, da je najbolje ocenjen regulator PID, ki mu sledita mPFC in PFC.

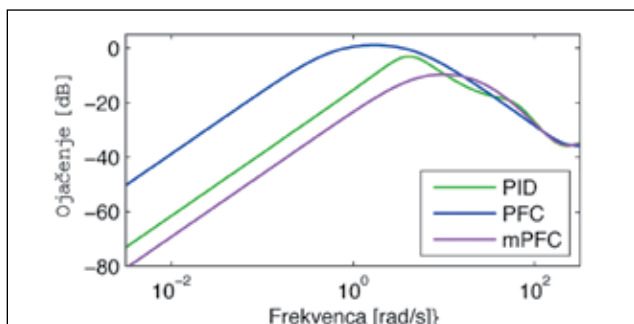
Na sliki 4 je prikazano delovanje regulatorjev pri odzivu na motnjo, ki smo jo generirali kot stopnico na vhodu v motor z vrednostjo $\Delta n = 1$ V. Evidentno je, da mPFC deluje bolje od ostalih dveh regulatorjev, saj ima hitrejši odziv, manj PV in boljše ocene na podlagi integralnih cenilk. Kljub počasnejšemu odzivu in večjemu PV je delovanje regulatorja PID sprejemljivo. regulator PFC se

Tabela 1. Prikaz kvalitete regulatorjev PID, PFC in mPFC za sistem prvega reda pri sledenju referenci

	PID	PFC	mPFC
ITSE	1,50	1,93	1,69
ISE	8,46	14,08	12,68
IAE	27,11	31,17	29,12
$t_{5\%}$ (s)	1,04	0,64	0,64
PV (%)	17,72	3,05	2,31

Tabela 2. Prikaz kvalitete regulatorjev PID, PFC in mPFC za sistem prvega reda pri odzivu na motnjo

	PID	PFC	mPFC
ITSE	3,26	120,03	0,79
ISE	7,83	106,06	1,82
IAE	31,48	196,23	16,07
$t_{5\%}$ (s)	1,46	5,60	0,58
PV (%)	44,55	90,88	31,37



Slika 5. Bodejev diagram sistema prvega reda med odzivom na motnjo, pri uporabi regulatorjev PID (zelena), PFC (modra) in mPFC (roza)

pri odzivu na motnjo ni izkazal najbolje, kar potrjujejo tudi integralske ceneilke.

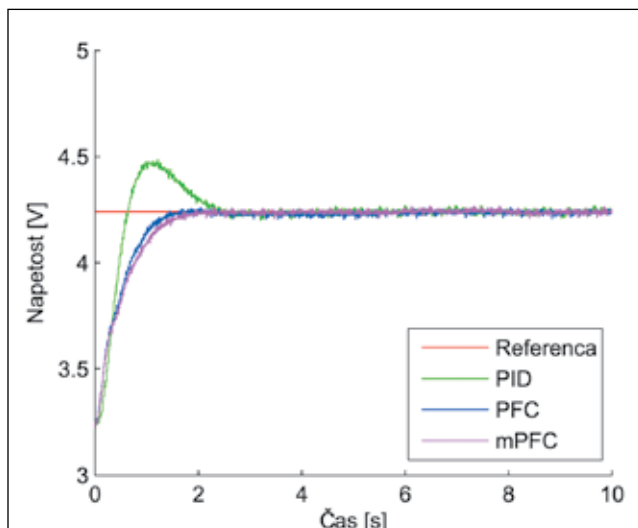
Naredili smo tudi frekvenčno analizo sistema z regulatorji PID, PFC in mPFC. Na sliki 5 je prikazan frekvenčni odziv sistema, ko motnja na vhodu procesa vpliva na njegov izhod. Ugotovimo lahko, da pri nizkih in srednjih frekvencah motnjo najbolj duši mPFC, PID pa malo manj. Pri visokih frekvencah ni večjih razlik med posameznimi regulatorji.

4.2 Sistem drugega reda

V tem primeru smo morali zopet opraviti relejski poskus in identifikacijo sistema pred začetkom eksperimentov, saj gre za drugo napravo. Histerezo releja smo nastavili na $HS = \pm 0,15$ V. Tokrat sta bila določena $\omega_u = 3,33$ rad/s in $K_u = 1,28$ ter izračunani sledeči parametri PID:

$$K_p = 0,765, T_i = 0,943 \text{ s}, T_d = 0,236 \text{ s} \text{ in } T_f = 0,118 \text{ s}. \quad (27)$$

Izhodni šum je tokrat dosegel 0,21 % glede na delovno točko $Y_{00} = 4,24$ V. Identificiran pa je bil tudi nov model drugega reda z mrvim časom, ki smo ga uporabili za nastavljanje regulatorjev PFC in mPFC:



Slika 6. Delovanje sistema drugega reda z uporabo regulatorjev PID (zelena), PFC (modra) in mPFC (roza) pri sledjenju referenci v delovni točki $Y_{00} = 4,24$ V

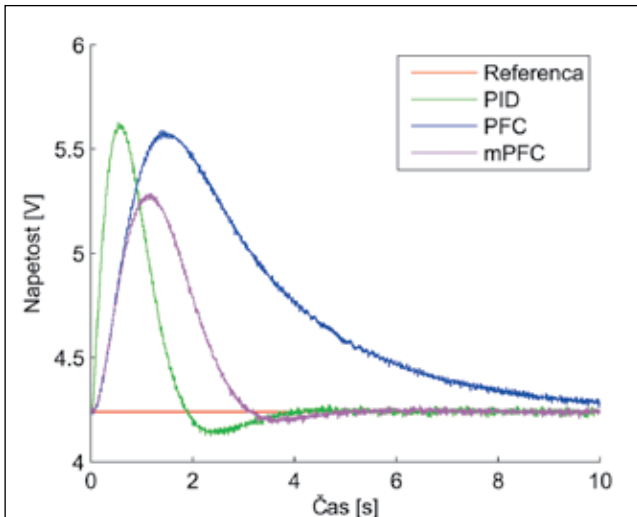
Tabela 3. Prikaz kvalitete regulatorjev PID, PFC in mPFC za sistem drugega reda pri sledjenju referenci

	PID	PFC	mPFC
ITSE	9,21	6,47	7,54
ISE	30,34	26,87	28,81
IAE	63,65	54,41	57,91
$t_{5\%}$ (s)	2,14	1,26	1,47
PV (%)	24,32	2,01	2,47

$$G_{2motor}(s) = \frac{8,85}{(2,35s+1)(0,31s+1)} e^{-0,27s} \quad (28)$$

V tem primeru smo za oba poskusa izbrali PFC in mPFC predikcijski horizont $H = 10$ ter izračunali $K_{f2} = 0,45$, $T_r = 0,24$ s in $T_{df} = 0,01$. Izbrali smo tudi $N_f = 2$.

Slika 6 prikazuje omenjene regulatorje pri sledjenju referenci. Delovna točka v tem primeru je $Y_{00} = 4,24$ V, sprememba reference pa zopet $\Delta r = 1$ V. Kot opazimo, so odzivi zelo podobni tistim na sliki 3. Tabela 3 kaže, da



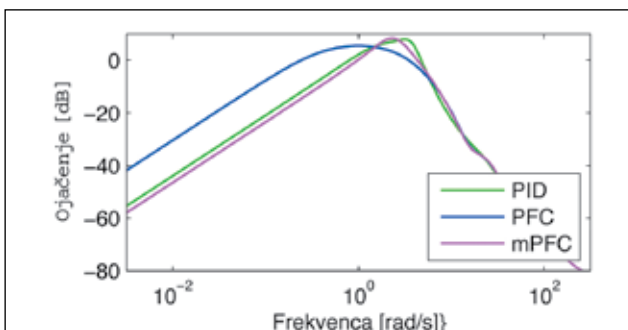
Slika 7. Delovanje sistema drugega reda z uporabo regulatorjev PID (zelena), PFC (modra) in mPFC (roza) pri odzivu na motnjo v delovni točki $Y_{00} = 4,24$ V

Tabela 4. Prikaz kvalitete regulatorjev PID, PFC in mPFC za sistem drugega reda pri odzivu na motnjo

	PID	PFC	mPFC
ITSE	94,98	856,86	158,23
ISE	137,93	391,82	125,15
IAE	150,84	466,55	171,15
$t_{5\%}$ (s)	3,39	9,97	4,17
PV (%)	138,79	134,85	104,64

regulatorja PFC in mPFC zopet deluje bolje, saj imata hitrejši odziv ($t_{5\%}$) in manj prevzpona kot PID. Opazimo tudi, da ima v tem primeru regulator PID približno 7 % večji PV kot na sliki 3.

Na sliki 7 je prikazano delovanje regulatorjev pri odzivu na motnjo, ki smo jo generirali kot stopnico na vhodu v sistem (23) z vrednostjo $\Delta n = 1$ V. V tabeli 4 opazi-



Slika 8. Bodejev diagram sistema drugega reda med odzivom na motnjo pri uporabi regulatorjev PID (zeleni), PFC (modra) in mPFC (roza)

mo, da ima regulator mPFC manj PV in nekoliko daljši umiritveni čas kot PID, vendar je slednji bolje ocenjen z integralskima cenilkama ITSE in IAE. Cenilka ISE pa boljše ocenjuje regulator mPFC. Tudi v tem eksperimentu sistem najslabše deluje ob uporabi regulatorja PFC.

Tudi za model drugega reda smo naredili frekvenčno analizo sistema z regulatorji PID, PFC in mPFC. Na sliki 8 je prikazan frekvenčni odziv sistema, ko motnja na vhodu procesa vpliva na njegov izhod. Opazimo lahko, da regulatorja PID in mPFC dajeta podobne rezultate in oba boljše kot PFC. Tudi tukaj pri visokih frekvencah ni bistvenih razlik.

■ 5 Zaključek

Cilj tega članka je bil predstaviti vodenje električnega motorja s pomočjo samonastavljenih regulatorjev PID, PFC in mPFC. Dobili smo dobre rezultate, ki kažejo, da regulator mPFC deluje bolje kot PID in PFC, še posebej pri sledenju referenci. Modificirani PFC je tudi hitrejši pri odzivu na motnjo in ima manjši prevzpon. Umiritveni čas regulatorja PID je

sicer primerljiv s časom regulatorja mPFC, vendar ima večji prevzpon.

Viri

- [1] Åström, K., and Häglund, T.: PID controllers: Theory, Design, and Tuning, 2nd edition, Instrument Society of America, USA, 1995.
- [2] Ziegler, J. G., and Nichols, N. B.: Optimum settings for automatic controllers, Transactions ASME, vol. 64, str.: 759–768, 1942.
- [3] Vrančič, D., Juričič, D., Strmcnik, S., and Hanus, R.: Closed-loop tuning of the PID controller by using MOMI method, American Control Conference, Proceedings, vol. 5, str.: 3352–3356, 1999.
- [4] Chien, I. L., Hrones, J. A., and Reswick, J. B.: On the automatic control of generalised passive systems, Transactions of the ASME, str.: 175–185, 1952.
- [5] Schultz, W. C., and Rideout V. C.: Control system performance measures: Past, present and future, IRE Transactions on Automatic Control, AC-6, str.: 22–35, 1961.
- [6] Kim, J. S., Kim, J. H., Park, J., Park, S., and Choe, W.: Auto Tuning PID Controller based on Improved Genetic Algorithm for Reverse Osmosis Plant, World Academy of Science, Engineering and Technology, str.: 384–389, 2008.
- [7] Richalet, J., Rault, A., Testud, J. L., and Papon, J.: Model predic-
- tive heuristic control: Application to industrial processes, Automatica, vol. 14, str.: 413–428, 1978.
- [8] Yu, C.: Autotuning of PID Controllers, A Relay Feedback Approach, str.: 23–25, 2nd Edition, Springer, Germany, 2006.
- [9] O'Dwyer, A.: Handbook of PI and PID Controller Tuning Rules, pp. 235–240, 2nd Edition, Imperial College Press, London, 2006.
- [10] Cutler, C. R., and Ramaker, B. L.: Dynamic matrix control – A computer control algorithm, JACC Proceedings, Paper WP5-B, 1980.
- [11] Richalet, J., O'Donovan, D.: Predictive Functional Control: Principles and Industrial Applications, Springer, London, 2009.
- [12] Richalet, J.: Pratique de la commande prédictive, Paris, Hermès, 1993.



Zahvala

Zahvaljujemo se Kompetenčnemu centru za sodobne tehnologije vodenja, ki ga delno finančirata Republika Slovenija, Ministrstvo za visoko šolstvo, znanost in tehnologijo ter Evropska unija (EU), in sicer iz Evropskega sklada za regionalni razvoj, da je omogočil raziskavo.

DC motor control using auto-tuning PID, PFC and modified-PFC controllers

Abstract: This paper presents a DC motor control using the auto-tuning of PID, PFC and modified-PFC controllers. Auto-tuning is a modern approach to tuning controllers, which helps us to tune controllers more quickly than standard tuning methods. The auto-tuning of PID, PFC and modified-PFC controllers is performed by using the relay-feedback method. After sustained oscillation of the process output, an identification of the process model can be made. The PFC and modified-PFC controllers are then tuned and the PID parameters are calculated. Experiments on DC motor-generator shows that the modified-PFC controller gives better results than the other two.

Keywords: auto-tuning, PID, modified, PFC, mPFC, relay, feedback, controller, DC, motor, control